

UNIVERZITET U NOVOM SADU  
PRIRODNO-MATEMATIČKI FAKULTET  
KATEDRA ZA FIZIKU

Stančić P. Nada

PENETRACIONI EFEKAT U PROCESU MAGNETNE DIPOLNE KONVERZIJE U  $^{92}_{\text{U}} \text{U}^{233}$

- D I P L O M S K I R A D -

INSTITUT ZA NUKLEARNE NAUKE "BORIS KIDRIČ" - VINČA  
1973.

Prilikom izrade ovog rada, radjenog u Institutu za nuklearne nauke "Boris Kidrič" - Vinča, u Laboratoriji za fiziku, pomoć su mi pružili mnogi saradnici ove Laboratorije među kojima se posebno zahvaljujem dr Lazaru Marinkovu, koji mi je predložio temu za diplomski rad. Zahvaljujem mu se takođe na pomoći prilikom realizacije rada kao i na ljudskom razumevanju i pažnji.

Posebnu zahvalnost dugujem dr Risti Stepiću koji me sa velikim strpljenjem i pažnjom upućivao u eksperimentalni rad i dr Dragomiru Krpiću koji je u svakom trenutku bio spremna da dâ savet i omogućio da se ovaj rad što uspešnije završi.

Zahvaljujem se Pokrajinskoj zajednici za naučni rad APV, koja je obezbedila finansijska sredstva za realizaciju ovog rada.



## U V O D

Jedan od važnijih zadataka nuklearne spektroskopije je teorijsko i eksperimentalno proučavanje procesa interne konverzije.

Sistematsko ispitivanje procesa interne konverzije je počelo još 1949. godine, radovima M.E. Rosea na izračunavanju koeficijenata unutrašnje konverzije uz grubu aproksimaciju tačkastog nanelektrisanja jezgra. Velike razlike tako izračunate koeficijenata od eksperimentalno dobijenih, ukazale su na potrebu da se u račun uvede jezgro konačnih razmara. Tako su Sliv i Band (1) poboljšali teorijske vrednosti koeficijenata unutrašnje konverzije kao i njihove odnose. Uvodjenje konačnih dimenzija jezgra, preko adekvatnijeg oblika polja, označava se u literaturi kao "statički efekat", a teorijske vrednosti koeficijenata - statički koeficijenti.

Medutim, neki eksperimentalno odredjeni konverzionii koeficijenti su se razlikovali od tabličnih vrednosti Sliva i Banda. Objašnjenja za ove anomalije su predložili Church i Weneser (3), ukazujući da koeficijenti unutrašnje konverzije mogu da zavise od detalja strukture jezgra. Ova uavistnost se označava kao dinamički efekt i prema Churchu i Weneseru može da prouzrokuje odstupanja eksperimentalnih od teorijskih koeficijenata unutrašnje konverzije u slučajevima zabrane elektromagnete emisije. Uzimanjem u obzir dinamičkih efekata i dinamičkog - penetracionog parametra  $\lambda$ , koji je kvantitativna mera popravke na veličinu konverzionog koeficijenta, Church i Weneser su uspeli da objasne anomalne vrednosti konverzionih koeficijenata za neka jezgra.

Eksperimentalno određivanje penetracionog parametra  $\lambda$  ima dvostruki značaj. Prvi je u mogućnosti tačnijeg izračunavanja konverzionih koeficijenata. Hager i Seltzer (6) su dali prostu relaciju između

se vrednosti od tabličnih vrednosti Sliva i Band (1). Ove anomalije su predložili Church i Weneser (3), uvećavajući



konverzionog koeficijenta za Ml prelaze i penetracionog parametra  $\lambda$  u obliku:

$$\beta = \beta_0 (1 + B_1 \lambda + B_2 \lambda^2)$$

gde je  $\beta_0$  tzv. staticki konverzioni koeficijent, a  $B_1$  i  $B_2$  su penetracioni koeficijenti tabelisani u (7).

Drugi značaj dobrog poznavanja  $\lambda$ , koji je bitan i za ovaj rad, je u mogućnosti određivanja strukturalnih parametara jezgra, naročito efektivnog spinskog žiromagnetskog faktora.

Penetracioni parametar je racionalna funkcija od spinskog žiromagnetskog  $g_s$ -faktora. Za slučaj, kada se racionalna funkcija brzo menja u intervalu  $g_{s,eff} \in (0,5-1,0) g_s$ , moguće je poznavanjem  $\lambda$ , sa velikom tačnošću odrediti  $g_{s,eff}$ .

Penetracioni parametri  $\lambda$  u funkciji  $g_s$ , za neke prelaze u deformisanim jezgrima, su tabelisane u (2).

U prvoj glavi ovog rada data je u konciznoj formi teorija penetracionog efekta u procesu interne konverzije magnetnog dipolnog zračenja i konačan izraz za penetracioni parametar u Nilssonovom bazisu. Smatrali smo da se nebi trebali detaljnije upuštati u razradu ove materije, jer se ona može naći dobro obradljena u ref. (2).

Druga glava obuhvata eksperimentalnu tehniku sa akcentom na glavnom aparatu -  $\pi V2$  bezželjeznom spektrometu sa dvostrukim fokusiranjem, obradi spektra i podataka dobijenih za  $^{92}_{\text{U}} \text{U}^{233}$ .

U poslednjem odeljku analizirali smo ukratko rezultate dobijene za  $^{92}_{\text{U}} \text{U}^{233}$ .

## I PENETRACIONI EFEKAT U PROCESU MAGNETNE MULTIPOLE KONVERZIJE

Proces interne konverzije je direktni elektromagnetski proces u kome se jezgro iz nekog eksitiranog stanja deeksitira u niže energetsko stanje emisijom elektrona iz elektronskog omotača.

Ovaj proces kvantitativno opisujemo konverzionim koeficijentom, koji se definiše kao odnos verovatnoće za konverzioni proces -  $W(e)$  i verovatnoće za emisiju gama-kvanta,  $W(\gamma)$ . Konverzioni koeficijent u zavisnosti od multipolnog reda i parnosti zračenja, može biti električni  $\alpha_L$  i magnetni  $\beta_L$ . U ovom radu će nas interesovati samo magnetni konverzioni koeficijent dat izrazom:

$$\beta_L = \frac{W(e)}{W(\gamma)} \quad (1.1)$$

U aproksimaciji tačkastog nanelektrisanja jezgra  $\beta_L$  je dat:

$$\beta_L = \frac{\frac{32\pi^3 \omega^2 \alpha}{2Ii+1} \sum_{M_i M_f} \left| \int d^3 R \psi_f^* \mathcal{L}_{LM} \psi_i \right|^2 \left| \int d^3 r \psi_f^* \mathcal{L}_{BLM} \psi_i \right|^2}{\frac{8\pi d\omega}{2Ii+1} \sum_{M_i M_f} \left| \int d^3 r \psi_i^* \mathcal{L}_{BLM} \psi_i \right|^2} \quad (1.2)$$

ili posle skraćivanja :

$$\beta_L = 4\pi \omega \sum_{m_i m_f} \left| \int d^3 r \psi_f^* \mathcal{L}_{BLM} \psi_i \right|^2 \quad (1.3)$$

gde su:

$\psi_i$  i  $\psi_f$  - protonske i elektronske talasne funkcije stanja u početnom

(i) i krajnje (f) stanju,

$r$  i  $R$  - su koordinate elektrona i protona i ovde je  $R < r$

$\mathcal{L}$  - Dirakova matrica



$\vec{A}_{LM}$  i  $\vec{B}_{LM}$  - su vektorski multiponi potencijali

$I_i$  - je spin inicijalnog nuklearnog stanja,

$m_i$  i  $m_f$  - magnetni kvantni brojevi za elektron,

$M_i$ ,  $M_f$  - magnetni kvantni brojevi za proton

$i\omega$  - je energija koje se oslobođio proton u konverzionom procesu  
(u jedinicama  $\hbar=1$ ).

Vidimo da u slučaju kada je  $R < r$ , konverzionalni koeficijent zavisiti samo od elektronskih talasnih funkcija, a ne i od nuklearnih.

Integracijom (1.3) po celom prostornom ugлу dobijamo:

$$\beta_L(\mathcal{H}_i) = \pi d\omega \sum_{\Delta\ell} \frac{(2j_i+1)(2j_f+1)}{L(L+1)} \left| \begin{smallmatrix} j_i & j_f & L \\ 1/2 & -1/2 & 0 \end{smallmatrix} \right| |T_{\mathcal{H}_i \Delta\ell}(ML)|^2 \quad (1.4)$$

gde su:

$\mathcal{H}_i$  i  $\mathcal{H}_f$  - Dirakovi kvantni brojevi

$j_i$  i  $j_f$  - kvantni brojevi mehaničkog momenta elektrona i

$T_{\mathcal{H}_i \Delta\ell}(ML)$  - radijalni integral dat izrazom :

$$T_{\mathcal{H}_i \Delta\ell} = \int_0^\infty h_L(\omega r) [u_{\mathcal{H}_i} v_{\Delta\ell} + u_{\Delta\ell} v_{\mathcal{H}_i}] dr \quad (1.5)$$

$U_{if}$  i  $v_{if}$  su radijalne Dirakove funkcije vezanog i odlazećeg elektrona

a  $h_L(\omega_r)$  - Henkelova funkcija.

Simbol  $\begin{pmatrix} a & b & c \\ d & e & f \end{pmatrix}$  predstavlja 3-j koeficijenat.

Ukoliko se uzmu u obzir i konačne dimenzije jezgra kao i interakcija elektron -jezgro, kad je elektronska koordinata manja od nuklearne,  $r < R$ , onda izraz za  $\beta_L(\mathcal{H}_i)$  glasi:

$$\beta_L(\alpha_i) = \pi d\omega \sum_{\alpha_f} \frac{(2j_i+1)(2j_f+1)}{L(L+1)} (\alpha_i + \alpha_f)^2 \begin{pmatrix} j_i & L \\ 1/2 & 1/2 \end{pmatrix} |T_{\alpha_i, \alpha_f} + P_{\alpha_i, \alpha_f}|^2 \quad (1.6)$$

gde je:  $P_{\alpha_i, \alpha_f}$  penetracioni-dinamički matrični element i zavisi kako od multipolnosti i energije prelaza, tako i od strukture jezgra.

$$P_{\alpha_i, \alpha_f} = \int_{J_N(R)}^{\infty} \vec{J}_N(R) \vec{A}_{LM}(m) \Theta_{\alpha_i, \alpha_f}(R) d^3R \left[ \int_{J_N(R)}^{\infty} \vec{A}_{LM} d^3R \right]^{-1} \quad (1.7)$$

$$\Theta_{\alpha_i, \alpha_f} = \frac{h_L(\omega R)}{f_L(\omega r)} \int_0^R h_L(\omega r) \left[ u_{\alpha_i} v_{\alpha_f} + u_{\alpha_f} v_{\alpha_i} \right] dr -$$

$$- \int_0^R h_L(\omega r) \left[ u_{\alpha_i} v_{\alpha_f} + u_{\alpha_f} v_{\alpha_i} \right] dr \quad (1.8)$$

Vrlo je nepodesno integraliti  $\Theta_{\alpha_i, \alpha_f}$  u izrazu (1.7) jer mu je gornja granica neodredjena. Zbog toga se u dobroj aproksimaciji, granice uzimaju od nule do  $R_o$ , gde je  $R_o$ -radijus jezgra ( $R_o = 1,2 \text{ Å}^{1/3} \text{ fm}$ ). Ova aproksimacija omogućuje razvoj  $\Theta_{\alpha_i, \alpha_f}(R)$  u stepeni reda 0. Zamenom reda u izraz (1.7) dobijamo:

$$P_{\alpha_i, \alpha_f}(ML) = i^L \frac{(2L+1)!!}{K(R_o)^L} G(\alpha_i, \alpha_f) \delta_{\alpha_f, \min[\alpha_f]} \cdot \lambda \quad (1.9)$$

gde je sa:

$$\lambda = \frac{\int d^3R \vec{J}_N \vec{A}_{LM}(m) \left( \frac{r}{R_o} \right)^L}{\int d^3R \vec{J}_N \vec{A}_{LM}(m)} \quad (1.10)$$

defenisan penetracioni-dinamički parametar za ML konverziju.  $\lambda$  zavisi samo od strukture jezgra,  $G_o$  samo od elektronskih funkcija stanja.

Umesto definicije (1.10) često se koristi sledeća:

$$\lambda = \frac{\langle I_f || \hat{j}_N \bar{A}_{LM}(m) (\frac{r}{R_0})^2 || I_i \rangle}{\langle I_f || \hat{j}_N \bar{A}_{LM}(m) || I_i \rangle} \quad (1.11)$$

koja joj je ekvivalentna, a dobijena je korišćenjem Wigner-Eckartove teoreme i definisanjem operatora nuklearne struje  $\hat{j}_N$ .

Za dalje razmatranje penetracionog parametra uvodimo Nilssonov jednočestični model jake sprege. On predstavlja varijantu deformisanog shell-modela i u graničnom slučaju, odsustva deformacije, se poklapa sa njim.

Dinamički parametar u Nilssonovom bazisu je izračunat i dat u ref. (2). Mi se zadržavamo samo na poslednjem izrazu sa kraćom diskusijom:

$$\lambda = \frac{\langle I'K' || \hat{P}_1 || IK \rangle}{\langle I'K' || \hat{U}_{1z} || IK \rangle} \quad (1.12)$$

1. Objasnjenje brojioca: to je redukovani penetracioni matrični element i može se izraziti u obliku:

$$\langle I'K' || P_1 || IK \rangle = w \cdot \mu_N \sqrt{3/16\pi} (2I+1)^{1/2} \left\{ \langle I1I'/K, K'-K, K' \rangle PM1(K \rightarrow K') \right.$$

$$+ \delta_{K,1/2} \delta_{K',1/2} (-1)^{I-1/2} \left. \langle I1I'/-1/2, 1, 1/2 \rangle PM1(K \rightarrow K') \right\} \quad (1.13)$$

Faktor  $w=0,702 \cdot A^{-1/3}$  je posledica različitih jedinica dužine korišćenih za  $r$  i  $R_0$ . Tako je  $r$  dato u Nilssonovim jedinicama dužine  $(\hbar/m\omega_0)^{1/2}$  sa  $\hbar\omega_0 = 41 \cdot A^{-1/3} \text{ MeV}$  a  $R_0$  je u fermima.

U izrazu (1.13) figurišu sledeći matrični elementi:

a) za  $K'=K$  i  $K'=K+1$

$$PM1(K \rightarrow K') = (N+3/2) [ (g_L - g_R) GML(K \rightarrow K') + (5/3 g_S - g_R) GMS ] + g_S PME(K \rightarrow K') \quad (1.14)$$

b) za  $K'=K=1/2$  (1.15)

$$PM1(K \rightarrow -K') = (N+3/2) [ (g_L - g_R) GML(K \rightarrow -K') + (5/3 g_S - g_R) GMS ] + g_S PME(K \rightarrow -K')$$

GMS, GML i PME su dati u ref. (8,2)

2. Izraz u imeniciu je redukovani matrični element za gama-emisiju M1 multipola:

$$\langle I'K' | \hat{U}_{1\ell} | IK \rangle = \sqrt{3/16\pi} (2I+1)^{1/2} \left\{ \langle II'IK, K \rightarrow K', K' \rangle GM1(K \rightarrow K') + \right. \\ \left. + \delta_{K,1/2} \cdot \delta_{K',1/2} (-1)^{I-1/2} \langle II'I-1/2, 1, 1/2 \rangle GM1(K \rightarrow K') \right\} \quad (1.16)$$

Matrični elementi koji fugurišu u (1.16) su:

a) za  $K'=K$  i  $K'=K+1$

$$GM1(K \rightarrow K') = (g_L - g_R) GML(K \rightarrow K') + (g_S - g_R) GMS(K \rightarrow K') \quad (1.17)$$

b) za  $K'=K=1/2$

$$GM1(K \rightarrow -K') = (g_L - g_R) GML(K \rightarrow -K') + (g_S - g_R) GMS(K \rightarrow -K') \quad (1.18)$$

U izrazima (1.14, 1.15, 1.17, 1.18) figurišu sledeće veličine:

$g_1$  - orbitalni žiromagneti odnos nesparene čestice i on je konstantan. Za nespareni proton  $g_1=1$ , a za neutron  $g_1=0$ .

$g_R$  - žiromagnetni odnos kora. On se menja od jezgra do jezgra, ali je relativno mala veličina i približno je jednak  $Z/A \approx 0,4$ . Za jezgra sa nesparenim brojem neutrona je nešto niži.

$g_s$  - spinski žiromagnetni odnos nesparene čestice. On nas naročito interesuje, jer je za neparno-parna i parno-neparna jezgra manji od spinskog  $g_s$  za slobodan proton i neutron. Zbog toga uvodimo efektivni spinski žiromagnetni odnos i izražavamo ga u delovima  $g_s'$  za slobodnu česticu:

$$g_{s,\text{eff}}' = \gamma \cdot g_{s,\text{fre}} \quad (1.19)$$

gde  $\gamma$  ima vrednost od 0,3 do 1.

## II EKSPERIMENTALNI DEO

### 1. Eksperimentalna tehnika

Ključni instrument u našem radu je bio magnetni  $\pi\sqrt{2}$  bezželjezni spektrometar sa dvostrukom fokalizacijom, fer. (4,5). Teorija dvostrukog fokusiranja je potekla od teorije radijalnih i aksijalnih oscilacija elektrona oko ravnotežne orbite u polju betatrona oblika:

$$B(\rho) = B(\rho_0) \cdot \left(\frac{\rho_0}{\rho}\right)^n \quad (2.1.1)$$

gde je:  $\rho_0$  - radijus ravnotežne orbite,  $\rho$  - bilo koje druge orbite, a "n" koeficijent čiju vrednost dobijamo iz jednakosti radijalne i aksijalne frekvence oscilovanja elektrona. Kada je  $n=1/2$  ispunjen je uslov dvostrukog fokusiranja. Da bi dobili raspodelu polja za taj slučaj, razvijamo (2.1.1) u red:

$$B(\rho) = B(\rho_0) \left[ 1 + \alpha \frac{\rho - \rho_0}{\rho_0} + \beta \left( \frac{\rho - \rho_0}{\rho_0} \right)^2 + \dots \right] \quad (2.1.2)$$

$\alpha$  i  $\beta$  su konstante koje treba pogodno odabrati. Kako je  $n=1/2$  to i  $\alpha$  mora biti  $1/2$ .  $\beta$  se bira u zavisnosti od konstrukcije spektrometra i može imati vrednost:  $1/8$ ,  $2/8$  i  $3/8$ .

U polju oblika (2.1.2) sa vrednostima  $\alpha = 1/2$  i  $\beta = 3/8$ , elektron preseca stabilnu putanju posle prelaska ugla:

$$\phi = \pi\sqrt{2} = 254^\circ 56'$$

Ugao  $\phi$  određuje položaj detektora na stabilnoj putanji u odnosu na izvor elektrona.

Raspodela polja oblika (2.1.2) u našem spektrometru je postignuta pogodnom konstrukcijom. Koriste se dva koaksijalna kalema sa različitim brojem namotaja. Kalem manjeg radijusa ima veći broj navoja od drugog a vezani su serijski u opoziciju. Visina komore je ista kao i visina kalemom pa se za  $\beta$ -koeficijent uzima vrednost  $3/8$ . Prednost ovakvog spektrometra je što magnetno polje linearno zavisi od struje pobudjenja. Zavisnost je oblika:

$$H\beta = K \cdot J \quad (2.1.3)$$

gde je K-konstanta spektrometra, a J-struja koja protiče kroz kalemove stvarajući polje jačine H. Jačina struje se meri metodom kompenzacije.

$\text{N}V\text{Z}$  bezželjezni spektrometar ima radijus stabilne putanje  $\beta_0 = 50$  cm. Na  $60^\circ$  od izvora ka detektoru je ulazna dijafragma čiji se otvor može menjati spolja pri samom radu. Izmedju izvora i brojača se nalazi olovni apsorbent, koji štiti brojač od direktnih gama-zraka sa izvora, a pred samim brojačem je postavljen promenjivi slit za: 0,5; 1; 2; i 4 mm. Vakuum se dobija pomoću jedne mehaničke i jedne uljne difuzne pumpe.

Za konstrukciju ovog  $\beta$ -spektrometra nije upotrebljen nikakav fero-magnetni materijal, a uticaj zemljinog magnetnog polja je odstranjen sa tri para Helmholcovih kalemova

Parametri spektrometara

Disperzija,

je uopšte definisana kao odnos rastojanja  $dx$  dve bliske monoenergetske linije i širine  $\Delta(B\beta)$  na polovini visine linije:

$$\delta = \frac{dx}{d(B\beta)} \quad (2.1.4)$$

Kod dvostrukog fokusirajućeg spektrometra disperzija je data izrazom:

$$\gamma = \frac{4\beta}{B\gamma} \quad (2.1.5.)$$

Transmija,

se uopšte definiše kao broj elektrona, koji odbroji detektor pri datoј jačini magnetnog polja i izvoru jedinične aktivnosti. Transmisija za dvostruko fokusirajući spektrometar je:

$$T = \frac{\varphi_i \psi}{\pi} \quad (2.1.6.)$$

gde su  $\varphi_i$  i  $\psi$  radijalni i aksijalni uglovi, koji su određeni početnim pravcем trajektorije elektrona u odnosu na stabilnu trajektoriju.

Moć razlaganja,

se definiše kao i u optici. Dve linije su razdvojene ako apscisa maksimuma jedne monoenergetske linije pada van minimuma druge linije. Najbolji kriterijum da se linije mogu meriti kao odvojene jeste da su razdvojene na polovini maksimalne visine. Moć razlaganja se definiše kao odnos momenta  $B\gamma$  kome odgovara vrh krive i širine na poluvisini  $\Delta(B\gamma)$

tj.  $\eta = \frac{B\gamma}{\Delta(B\gamma)}$  (2.1.7)

Obično se posmatra njena recipročna vrednost:

$$R = \frac{1}{\eta} = \frac{\Delta(B\gamma)}{B\gamma} \quad (2.1.8)$$

nazvana rezolucijom spektrometra. Ona se izražava u procentima.

## 2. Obrada spektra

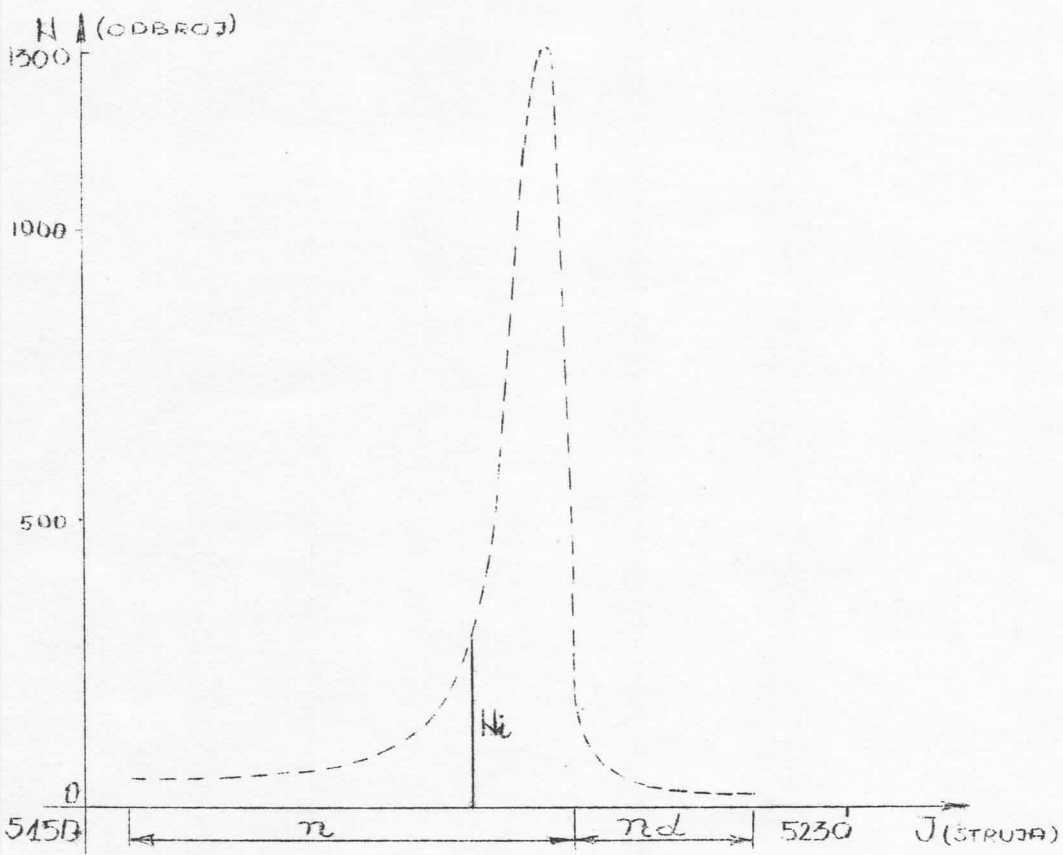
Eksperimentalni deo moga posla sastojao se u merenju integrata elektronskih linija elektrona interne konverzije na beta-spektrometu. Pouzdana merenja u sprkotroskopiji konverzionih elektrona su sva ona, koja sa jedne strane imaju dobru statistiku, a sa druge strane imaju potpuno odvojene linije. Isto tako je važno da odnos fona (beta-spektar + "šum") prema liniji bude što manji. Ispuniti istovremeno ova tri uslova je mučan i dugotrajan posao koji u našem slučaju nije dao dobre rezultate.

Za detekciju elektrona korišćen je GM brojač, postavljen u spektrometru, koji je radio kao digitalni instrument, dajući odgovoreima li ili ne elektrona određene energije.

Sama tehnika merenja je bila prosta i dobro poznata. Ako želimo, nprimer, da odredimo odnos  $L_1/L_2$  za neki prelaz, onda merimo odbroj brojača za fiksno vreme, svodimo na istu jedinicu energije, menjajući struju kroz kalem spektrometra. Površine oivičene ovako dobijenim linijama su proporcionalne verovatnoćama za konverziju u  $L_1$ , odnosno  $L_2$  ljuisci. Ovako dobijeni odnosi konverzionih koeficijenata uključuju u sebi statističke greške za koje imamo opravdanje u činjenici da jeочitanje brojača  $N$ , podložno statističkoj fluktuaciji ( $N^{1/2}$ ). Slučajne greške u radu smo otklanjali merenjem iste linije više puta.

Kako su u našem slučaju  $L_1$  i  $L_2$  linije prepokrivale jedna drugu, razdvajali smo ih prozorskom metodom. Tako dobijenu jednu  $L_1$  elektronsku liniju imamo na slici broj 1.

Neka ukupno "n" ekvidistantnih tačaka određuje liniju, a  $n_d$  broj tačaka fona sa desne strane linije.



Slika broj 1.

Ako je tekući odbroj  $N_i$ , onda je intezitet ove linije dat relacijom:

$$A = \sum_{i=1}^n N_i - n \bar{N}_f \quad (2.2.1)$$

gde je  $\bar{N}_f$ -srednja vrednost fona i data je kao:

$$\bar{N}_f = \frac{1}{n_d} \sum_{i=n}^{n+nd} N_i \quad (2.2.2)$$

Intezitet A je funkcija od  $N_i$  i  $\bar{N}_f$ , pa grešku za A tražimo na sledeći način:

$$A = A(N_i, \bar{N}_f) \\ \Delta A = \pm \left[ \sum_{i=1}^n \left| \frac{\partial A}{\partial N_i} \right|^2 \Delta N_i^2 + \left| \frac{\partial A}{\partial \bar{N}_f} \right|^2 \Delta \bar{N}_f^2 \right]^{1/2} \quad (2.2.3)$$

gde je  $\Delta N_i = N_i^{1/2}$  a,  $\Delta \bar{N}_f = \frac{1}{n_d^{1/2}} \Delta \bar{N}_f = \frac{\bar{N}_f}{n_d} \Delta \bar{N}_f$

uvrštavanjem ovih izraza u (2.2.3) dobijamo:

$$\Delta A = \pm \left[ A + \pi \left( 1 + \frac{n}{n_d} \right) \bar{N}_f \right]^{1/2} \quad (2.2.4)$$

Medjutim, u izraz za ovu grešku nije ušla greška od razdvajanja linija (svodjehja na oblik poznate linije). Zato u (2.2.4) uvodimo dopunski član

koji opisuje i ovu intervenciju. Grafička separacija uvodi u liniju neki broj tačaka „m”, čije greške ne znamo. Predpostavlja se stoga da je svaka ordinata  $N_t$  tačaka „m” odredjena sa greškom od 10%, te izraz za statističku grešku intenziteta A dobija oblik:

$$\Delta A = \pm \left\{ A + n \left( 1 + \frac{n}{n_d} \right) \bar{N}_f + (0,1)^2 \sum_{t=1}^m N_t \right\}^{1/2} \quad (2.2.5)$$

Statističku grešku odnosa intenziteta dve linije A i B nalazimo po formuli

$$\Delta \left( \frac{A}{B} \right) = \pm \frac{A}{B} \cdot \left( \frac{\Delta A^2}{A^2} + \frac{\Delta B^2}{B^2} \right)^{1/2} \quad (2.2.6)$$

Ovako dobijeni intenziteti linija naknadno su obradjeni na period poluraspada  $\text{Pa}^{233}$ . Mi smo to radili na samom početku, tj. korigovali smo odbroj detektora na vreme poluraspada. Korekcioni faktor je tražen preko formule:

$$F = \text{ant. log} \frac{I}{I_t} = \text{ant. log} (7,74254 \cdot 10^{-6} t) \quad \text{za } T_{1/2} = \\ = 27 \text{ dana.}$$

Korekciju smo još vršili na mrtvo vreme GM brojača. Ono je iznosilo  $\tau = 212 \mu\text{sec/imp.}$ , a korekcioni faktor:

$$a = \frac{1}{1-\frac{1}{\tau N}} = \frac{1}{1-35,33 \times 10^7 N}$$

gde je N tekući odbroj.

3. Eksperimentalno odredjivanje penetracionog parametra, primese E2 multipola i efektivnog  $g_s$ -faktora za prelaze sa K (631) na K'(631), za  $\Delta K=1$  u  $^{92}U^{233}$ .

Poznavanjem odnosa konverzionalih koeficijenata, tj. odnosa intenziteta konverzionalih linija,  $(-\frac{L_i}{L_k}) \exp$ , za dati dominantni M1 prelaz, moguće je istovremeno odrediti parametar  $\lambda$  i procenat primese višeg multipola  $\delta^2$  (E2).

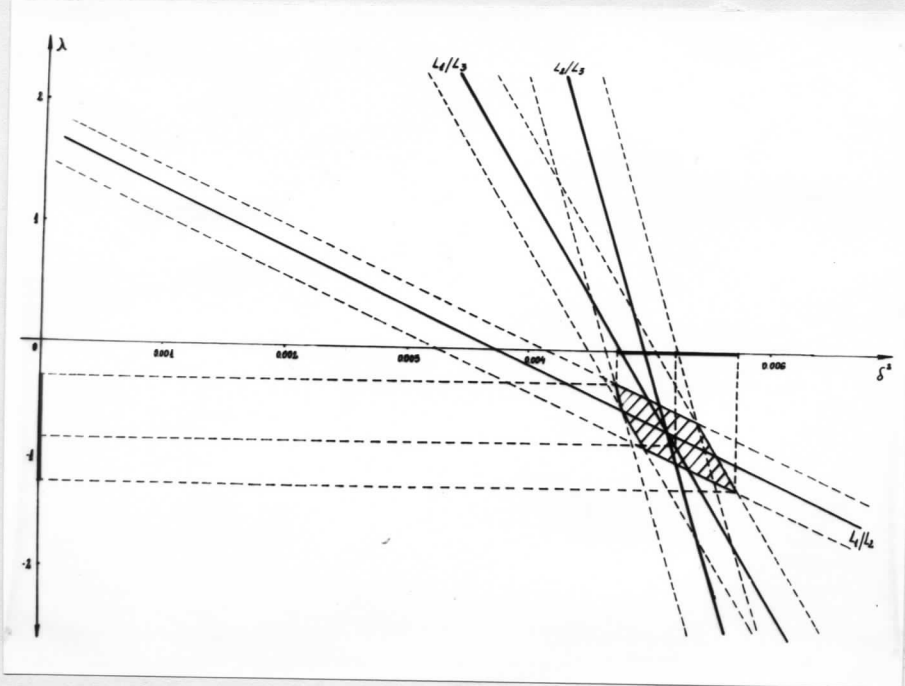
Veličine  $\lambda$  i  $\delta^2$  su povezane linearnom relacijom:

$$\delta^2 \left[ \left( -\frac{L_i}{L_k} \right) \exp \alpha(L_k) - \alpha(L_i) \right] = \beta(L_i) - \left( -\frac{L_i}{L_k} \right) \exp \beta(L_k) + \lambda \left[ \beta(L_i) \times \right. \\ \left. \times B_1(L_i) - \left( -\frac{L_i}{L_k} \right) \exp \beta(L_k) \cdot B_1(L_k) \right] \quad (2.3.1)$$

gdje je  $B_1(L_i, L_k)$  takozvana penetraciona funkcija po Hageru i Seltzeru.

Na slici broj 2. prikazan je  $\lambda - \delta^2$  koordinatni sistem, koji je korišćen za odredjivanje penetracionog parametra za M1 konverziju i procenat smeše E2 multipola za prelaz od 75,28 KeV-a u  $^{92}U^{233}$ . Na ovom dijagramu su data tri eksperimentalna konverzionalna odnosa u L-ljusci, zajedno sa procenjenim statističkim greškama (trake statističkih grešaka su označene isprekidanim linijama oko pune linije srednjih vrednosti). Površina prekrivanja statističkih traka je osenčena. Ona određuje eksperimentalnu oblast nalaženja veličina  $\lambda$  i  $\delta^2$ . Najverovatniji par ( $\lambda, \delta^2$ ) locirali smo u „težište“ osenčene figure. Eksperimentalne greške smo odredili ortogonalnim projektovanjem figure na osu  $\lambda$  i  $\delta^2$ .

Prema ref. (2) za prelaze izmedju K (631) i K'(631) za  $\Delta K=1$  u  $^{92}U^{233}$  moguće je sa velikom tačnošću odrediti efektivni  $g_s$ -faktor, jer se



Slika broj 2.

penetracioni parametar  $\lambda$ , kao racionalna funkcija  $g_s$ -faktora, brzo menjaju u intervalu  $g_{s,eff} \in (0,5 - 1,0) g_{s,free}$ .

Radi odredjivanja  $g_{s,eff}$ , najpre ćemo uvesti tzv. renormalizovani penetracioni parametar  $\lambda_R$  definicijom: to je odnos penetracionog matričnog elementa, datog odredjenim modelom i redukovanih matričnih elemenata za gama-emisiju, izraženog preko merljivih (eksperimentalnih) veličina. Fazu  $\lambda_R$ , odredjujemo znakom eksperimentalne vrednosti  $\lambda$ .

$$\lambda_R \stackrel{\text{def}}{=} \text{sign. } (\lambda_{\text{exp}}) \times \frac{|\langle I' | P_1 | I \rangle|}{|\langle I' | \hat{U}_t | I \rangle|_{\text{exp}}} \quad (2.3.2)$$

$\langle I' | P_1 | I \rangle$  je penetracioni matrični element u Nilssonovom bazisu i dat je izrazom (1.13).

Izraz u imeniocu je redukovani matrični element za gama-emisiju i određen je relacijom:

$$\langle I' || \hat{U}_{18} || I \rangle_{\text{exp.}} = \pm 8,1 \cdot 10^{-7} \sqrt{2I+1} \cdot \sqrt{\frac{3}{16\pi}} \cdot \frac{1}{\sqrt{E_\gamma^3 T_{1/2} (1+\delta^2) (1+\alpha_{\text{rel}}) (2.3.3)}}$$

u kojem figurušu merljive veličine:

$E_\gamma$  - energija prelaza u MeV-ima,

$T_{1/2}$  - poluživot inicijalnog stanja u sekundama,

$\delta^2$  - odnos intezivnosti gama-zračenja multipolnosti L i L + 1, tj.,

$$\delta^2 = \frac{N_{\gamma}^{(L+1)}}{N_{\gamma}^{(L)}} ;$$

$\alpha_{\text{tot.}}$  - totalni konverzionalni koeficijet za dati prelaz.

Dobrim poznавanjem ovih veličina za dati prelaz, možemo odrediti eksperimentalnu vrednost redukovanih matričnih elemenata za gama-emisiju, a samim tim i  $\lambda_R$  u funkciji  $g_{s,\text{eff}}$ . Izjednačavanjem  $\lambda_R$  i eksperimentalne vrednosti penetracionog parametra  $\lambda$ , dobijamo i numeričke vrednosti za  $g_{s,\text{eff}}$  koje zatim izražavamo u delovima  $g_s$  za slobodnu česticu.

Prelaz od 75,28 KeV-a

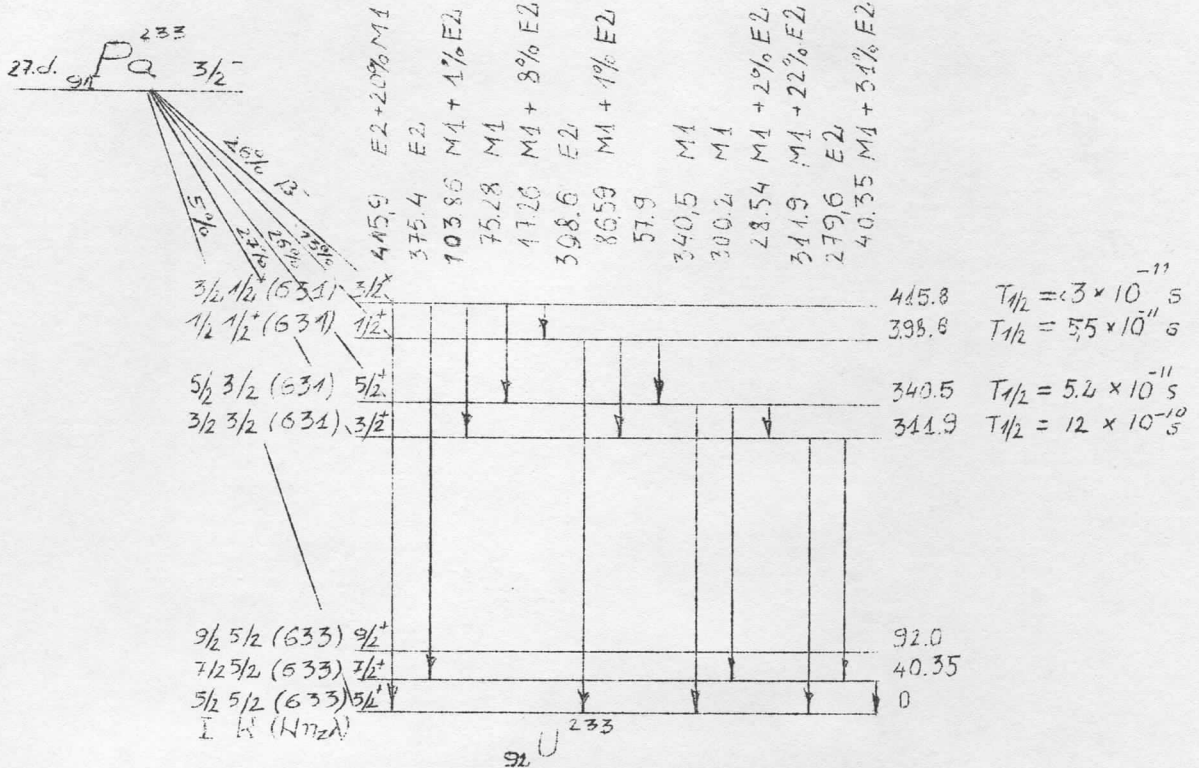
Prelaz od 75,28 KeV-a,  $3/2^+ \rightarrow 5/2^+$ , je prelaz izmedju Nilssonovih orbita  $1/2$  (631)  $\rightarrow$   $3/2$  (631), kao što se vidi na slici broj 3., koja predstavlja šemu raspada  $^{92}\text{U}^{233}$ .

Za nalaženje eksperimentalnih vrednosti  $\lambda$  i  $\delta^2$  koristili smo dijagram na slici broj 2. U tabeli broj 1. dati su eksperimentalni podaci za prelaz od 75,28 KeV-a.

E	$L_1 / L_2$	$L_4 / L_3$	$L_2 / L_3$	$\lambda$	$\delta^2$
75,28	7,86 ± 0,15	64,69 ± 3,1	-8,22 ± 3,1	-0,9 +0,6 -0,3	0,0053 +0,0005 -0,0005

Tabela broj 1.





SLIKA BROJ 3.

Za nalaženje efektivnog  $g_s$ -faktora za nesparenu česticu-neutron, koristimo renormalizovani penetracioni parametar  $\lambda_R$ .

$$\lambda_R \stackrel{\text{def}}{=} \frac{|\langle I' \parallel P_1 \parallel I \rangle|}{|\langle I' \parallel U_{18} \parallel I \rangle|_{\text{exp}}}$$

Za  $T_{1/2} = 3 \times 10^{-11} \text{ sec.}$ ,  $\alpha_{\text{tot}} \approx 11$ ,  $E_\gamma = 0,07528 \text{ MeV-a}$  i  $\delta^2 = 5^{3/10}$

redukovani matrični element za gamma-emisiju ima vrednost:

$$\langle I' \parallel U_{18} \parallel I \rangle_{\text{exp}} = \pm 2,057 \sqrt{2I+1} \sqrt{3/16\pi}$$

a penetracioni matrični element za ovaj slučaj, kada je  $I = 3/2$ ,  $I' = 5/2$ ,  $K = 1/2$  i  $K' = 3/2$  je:

$$\langle I' \parallel P_1 \parallel I \rangle = 0,08747 \times \sqrt{2I+1} \sqrt{3/16\pi} \cdot (9,934145 g_s - 0,1406)$$

Za  $\lambda_R$  dobijamo:

$$\lambda_R = \frac{0,08747 \times \sqrt{2I+1} \sqrt{3/16\pi} \cdot (9,934145 g_s - 0,1406)}{8,057 \sqrt{2I+1} \sqrt{3/16\pi}}$$

$$\lambda_R = + 0,4222 \times g_S + 0,0060$$

Izjednačavanjem  $\lambda_R$  i eksperimentalno određenog penetracionog parametra  $\lambda$  dobijamo:

$$g_{S,\text{eff}} = 0,55^{+0,36}_{-0,18} \times g_{S,\text{free}}$$

Prelaz od 86,59 KeV-a

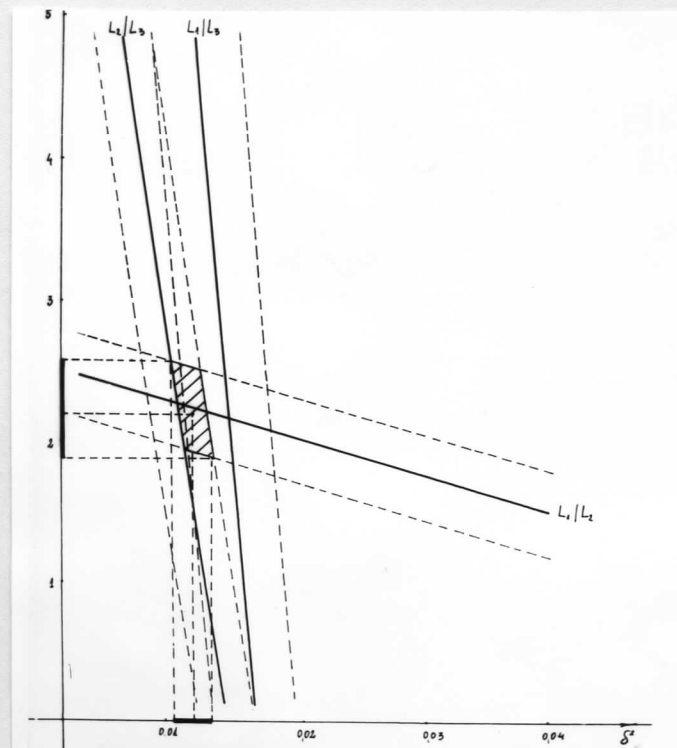
Prelaz od 86,59 KeV-a,  $1/2^+ \rightarrow 3/2^+$ , je prelaz izmedju Nilssonovih orbita  $1/2$  (631)  $\rightarrow$   $3/2$  (631).

Eksperimentalni rezultati za konverzije odnose, penetracioni parametar i primesu E2 multipola, za ovaj prelaz su prikazani u tabeli 2.

$E_S$	$L_1/L_2$	$L_1/L_3$	$L_2/L_3$	$\lambda$	$\delta^2$
86.59	7,25 $\pm 0,15$	36,2 $\pm 1,5$	5,0 $\pm 0,42$	2,45 $+0,4$ $-0,3$	0,012 $+0,002$ $-0,004$

Tabela broj 2.

Na slici broj 4. je dat  $\lambda$ - $\delta^2$  grafik koji je korišćen za određivanje verovatne oblasti penetracionog parametra i smeše zračenja.



SLIKA BROJ 4.

Da bi procenili efektivni gs-faktor nalažimo  $\lambda_R$ . Redukovani matrični element za Ml gamma-emisiju iznosi:

$$\langle I' \parallel \hat{U}_{1s} \parallel I \rangle_{exp} = \pm 1,343 \times \sqrt{2I+1} \times \sqrt{3/4\pi}$$

Za izračunavanje ovog matričnog elementa koristili smo podatke:

$$\alpha_{tot} \approx 7,4 \quad \delta^2 = 0,012 \quad T_{1/2} = 5,5 \cdot 10^{-11} s \quad ; \quad E_8 = 0,08659 \text{ MeV-a}$$

Penetracioni matrični element smo ocenili na:

$$\langle I' \parallel \hat{P}_1 \parallel I \rangle = 0,1144 \times \sqrt{2I+1} \times \sqrt{3/4\pi} \times [3,934145 g_s - 0,140625]$$

Renormalizovani penetracioni parametar tada ima vrednost:

$$\lambda_R = -0,84539 g_s - 0,01197$$

Izjednačavanjem renormalizovane i eksperimentalne vrednosti penetracionog parametra, za odnos efektivnog  $g_s$ -faktora i  $g_s$  faktora za slobodnu česticu-neutron, dobijamo:

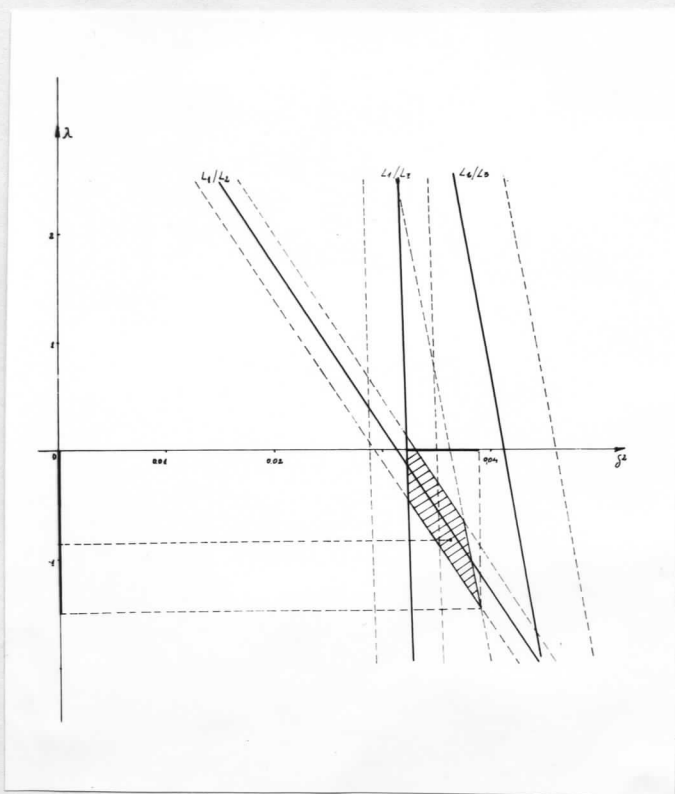
$$g_{s,eff} = 0,63^{+0,12}_{-0,07} \times g_{s,free}$$

Prelaz od 103,86 KeV-a

Ovo je prelaz  $3/2^+ \rightarrow 3/2^+$ , izmedju Nilssonovih orbita  $11/2(631) - 3/2(651)$  kao što se vidi i na šemi raspada  $^{233}_{92}\text{U}$ . Na slici broj 5. je dat grafik koji je korišćen za određivanje verovatne oblasti penetracionog parametra i smeše zračenja. Eksperimentalni rezultati za konverzije odnose, penetracioni parametar i procenat smeše su dati u tabeli broj 3.

$E_8$	$L_1/L_2$	$L_1/L_3$	$L_2/L_3$	$\lambda$	$\delta^2$
103,86 $\pm 0,40$	5,45 $\pm 0,21$	4,40 $\pm 0,21$	24,05 $\pm 2,4$	-0,85 $+0,85$ $-1,00$	0,036 $+0,004$ $-0,003$

Tabela broj 3.



Slika broj 5.

Penetracioni matrični element smo procenili na:

$$\langle I' \parallel \hat{P}_z \parallel I \rangle = \sqrt{2I+1} \cdot \sqrt{3/16\pi} \cdot [0.71843g_s - 0.01016]$$

a za redukovani matrični element za gama-emisiju, na osnovu podataka:

$$T_{1/2} = 3 \cdot 10^{-14} \text{ sec}, \delta^2 = 0.036, \text{ i } \alpha_{TOT} \approx 4.13, \text{ smo dobili:}$$

$$\langle I' \parallel \hat{U}_{18} \parallel I \rangle_{exp.} = \pm 1.966 \cdot \sqrt{2I+1} \cdot \sqrt{3/16\pi}$$

Krajnji izraz za renormalizovani penetracioni parametar u funkciji  $g_s$  je:

$$\lambda_R = 0.365g_s - 0.0051$$

a za efektivni žiromagnetski faktor:

$$g_{s,\text{eff}} = 0.61^{+0.59}_{-1.28} \times g_{s,\text{FREE}}$$

### ZAKLJUČAK

Zadatak ovog rada je bio: odrediti penetracioni parametar za prelaze od 103,86 KeV-a; 86,59 i 75,28 KeV-a u  $^{92}\text{U}^{233}$ , i na osnovu dobijenih vrednosti  $\lambda$ , odrediti odnos efektivnog spinskog žiromagnethnog faktora sa žiromagnethnim spinskim faktorom za slobodni neutron.

Teorijske vrednosti penetracionog parametra  $\lambda$  na osnovu Nilssonovog modela, smo procenili na  $\lambda = 0,91$ . Za prelaze od 75,28 i 103,89 KeV-a, naše  $\lambda$  se dobro slaže sa predviđanjima ovog modela, ali se u fazi razlikuje. Međutim, prema ref. (2), nalazimo opravdanje, jer stoji primedba da neka stanja u Nilssonovim tablicama imaju loše predznačke, što se može loše odraziti na fazu  $\lambda$ .

Za oba ova prelaza i odnosi  $g_{s,\text{eff}}/g_{s,\text{free}}$  nam se slažu u granicama eksperimentalne greške, sa odnosom  $g_{s,\text{eff}}/g_{s,\text{free}} = 0,6$ , kojeg su naveli Browne i Femenia u ref. (8).

Za prelaz od 86,59 KeV-a, iako nam se penetracioni parametar znatno razlikuje od predviđjenog, ipak smo dobili dobro slaganje odnosa  $g_{s,\text{eff}}/g_{s,\text{free}}$  što je prema ref. (2) moguće, ukoliko je nagib krive  $\lambda_R = \lambda_R(g_s)$  velik, a to je i kod nas slučaj.



SADRŽAJ

	Str.
Uvod .....	
I GLAVA PRVA	
Penetracioni efekat u procesu magnetne multipolne konverzije .....	1
II GLAVA DRUGA	
Eksperimentalni deo .....	7
1. Eksperimentalna tehnika .....	7
2. Obrada spektra .....	10
3. Eksperimentalno određivanje penetracionog parametra, primese E2 multipola i efektivnog $g_s$ -faktora za prelaze sa $K(631) \rightarrow K'(631)$ za $K=1$ u $^{92}_{\Lambda}U^{233}$ .....	13
Zaključak .....	20
Sadržaj .....	21
Reference .....	22



REFERENCE

1. L.A. Sliv, I.M. Band: Tablici koeficijentov vnutrenoj konverziji, u knjizi: "Gama Luči", Izd. ANSSSR 1961.,
2. D.K. Krpić: "Penetracioni efekat u procesu interne konverzije magnetnog dipolnog zračenja", doktorska disertacija 1973.
3. E.L. Church and Weneser: Annual Rev. Nucl. Sci. 10 (1960)193
4. M.S. Platiša: "Karakteristike dvostruko fokusirajućeg -spektrometra bez željeza", diplomski rad,
5. L.G. Marinkov: "Šeme raspada  $Os^{192}$ ,  $Pt^{192}$ , i  $Pt^{194}$ ", doktorska disertacija, 1963..
6. R. Hager and E. Seltzer: Nuklear Data A4(1968)1,
7. R. Hager and E. Seltzer: Nuclear Data A6(1969)1,
8. E. Browne and F. Femenija: Nuclear Data Tables 10(1971)81,
9. A. Simon, ORNL-1718(1954) ili "Deformacija atomnih jader", IL,M.; 1959.

